

## ЭПР ИОНОВ МЕДИ В КРИСТАЛЛАХ $\text{Pb}_2\text{MoO}_5$

**В.А. Надолинный, А.А. Рядун, В.Н. Шлегель, Н.В. Иванникова**

Институт неорганической химии им. А.В. Николаева СО РАН, Новосибирск, Россия  
E-mail: spectr@niic.nsc.ru

Статья поступила 19 августа 2015 г.

В работе представлены результаты исследования методом ЭПР кристаллов  $\text{Pb}_2\text{MoO}_5$ , содержащих примесь меди. На основании анализа угловых зависимостей спектров ЭПР установлено, что ионы меди входят в структуру кристалла  $\text{Pb}_2\text{MoO}_5$  в состоянии  $\text{Cu}^{2+}$  и занимают позицию молибдена с образованием линейного протяженного дефекта  $\text{Cu}(\text{II})-\text{V}(\text{O})-\text{Pb}(\text{IV})$  вдоль оси *a* кристалла. При этом для зарядовой компенсации в структуре дефекта реализуется кислородная вакансия, а ион свинца приобретает зарядовое состояние  $\text{Pb}^{4+}$ . Согласно структуре этого центра в спектрах ЭПР наблюдается одно магнитно-нейквилентное положение с направлением главных значений *A* и *g* тензоров  $A(\text{Cu})_{zz}$  и  $g_{zz}$  параллельно оси *a*. Кроме этого в спектрах ЭПР обнаружена дополнительная сверхтонкая структура от одного атома свинца, плотность неспаренного электрона на котором составляет 0,061 %. Полученные данные о структуре дефекта, образующегося при вхождении примеси меди в кристалл  $\text{Pb}_2\text{MoO}_5$ , позволили предположить, что наблюдаемое рассеяние света при направлении луча света перпендикулярном оси *a* может быть обусловлено коллективным эффектом от вхождения двух и четырех валентных ионов, замещающих молибден в линейной конфигурации связей  $\text{Pb}-\text{O}-\text{Mo}$ .

DOI: 10.15372/JSC20160405

**Ключевые слова:** ЭПР спектроскопия, кристаллы  $\text{Pb}_2\text{MoO}_5$ , примесные ионы меди.

### ВВЕДЕНИЕ

Взаимодействие оптического луча с акустической волной позволяет модулировать показатель оптического преломления и тем самым выделять поляризованный свет. Материалы, на которых реализуются акустооптические свойства, объединяют широкий спектр кристаллов. К числу широко используемых акустооптических кристаллов относятся кристаллы кварца,  $\text{LiNbO}_3$ ,  $\text{LiTaO}_3$ ,  $\text{TeO}_2$  и  $\text{PbMoO}_4$  [1].

Кристаллы  $\text{Pb}_2\text{MoO}_5$  обладают высокими рефрактивными свойствами и относятся к классу акустооптических кристаллов. Первая работа по изучению структуры кристалла  $\text{Pb}_2\text{MoO}_5$  появилась еще в 1951 г. [2], в которой было показано, что кристалл имеет моноклинную ячейку с параметрами  $a = 14,225$ ,  $b = 5,789$ ,  $c = 7,336 \text{ \AA}$  и  $\beta = 114,0^\circ$ . Симметрия кристалла  $C2/m$ . Рефрактивные параметры, измеренные в работе [3] при  $\lambda = 589,3 \text{ нм}$ , составили  $n_x = 2,183$ ,  $n_y = 2,197$  и  $n_z = 2,319$ . Исследуемые в этих работах кристаллы имели небольшие размеры и желтовато-зеленоватую окраску в зависимости от условий роста. По акустооптическим свойствам кристаллы  $\text{Pb}_2\text{MoO}_5$  имеют лучшие характеристики среди известных кристаллов, но выращиваемые кристаллы  $\text{Pb}_2\text{MoO}_5$  имеют трещины и включения, что затрудняет использование их на практике. Оптические свойства кристаллов  $\text{Pb}_2\text{MoO}_5$  изучались в основном с точки зрения аку-

Рис. 1. ЭПР спектр кристалла  $\text{Pb}_2\text{MoO}_5:\text{Cu}^{2+}$  в плоскости  $a$ 

стооптических приложений [4—7]. Собственную люминесценцию  $\text{Pb}_2\text{MoO}_5$  изучали только при возбуждении Хе-лампой [8].

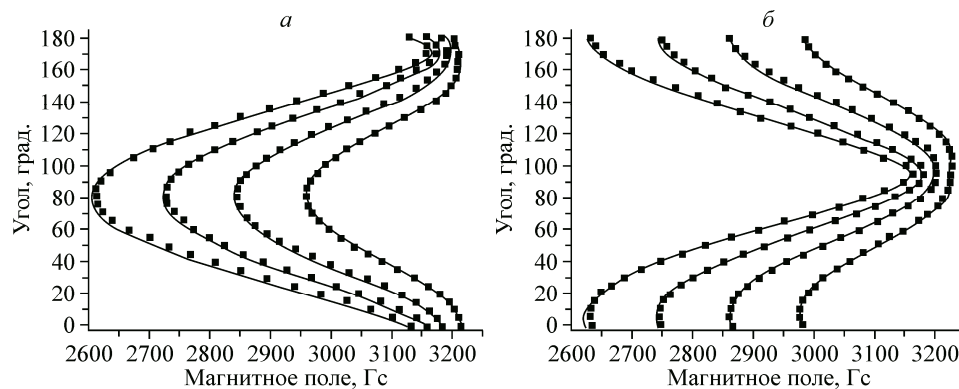
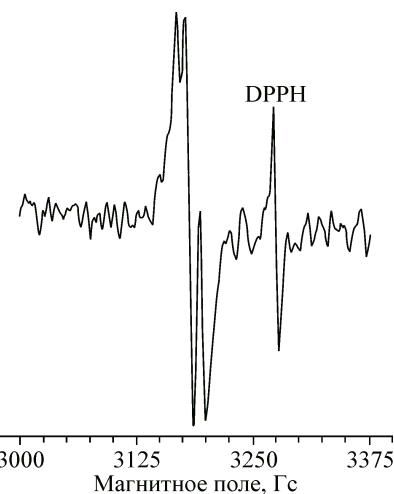
В настоящей работе выращены крупные кристаллы  $\text{Pb}_2\text{MoO}_5$ , проведено исследование примесного состава выращенных кристаллов методом ЭПР и причин, влияющих на окраску кристаллов.

### ЭКСПЕРИМЕНТАЛЬНАЯ ЧАСТЬ

Кристаллы  $\text{Pb}_2\text{MoO}_5$  выращивали методом Чохральского в условиях низких градиентов температур ( $\Delta T/\Delta x < 1$  град./см) на затравках ориентированных по направлению [20-1]. Скорость вытягивания составляла 2 мм в сутки, скорость вращения 10—15 оборотов в минуту. Процесс выращивания осуществляли из платинового тигля диаметром 70 мм и высотой 120 мм на установке с весовым контролем процесса (лабораторная установка НХ-620Н). Допирение кристаллов ионами меди осуществляли добавкой в расплав 10 ppm  $\text{CuO}$ . Спектры ЭПР снимались в  $X$ -диапазоне частот на спектрометре фирмы Varian E-109, оборудованном устройством аналого-цифрового преобразования сигнала и оригинального программного обеспечения для накопления и обработки спектров при температурах 77 и 300 К. Для расчета параметров спектров ЭПР проводили исследование угловой зависимости спектров ЭПР в трех взаимно перпендикулярных плоскостях, а затем эти зависимости спектров ЭПР обрабатывались с помощью программы [9].

Угловые зависимости спектров ЭПР снимались в трех взаимно перпендикулярных плоскостях. Для этого были выбраны три плоскости вращения — вращение в плоскости перпендикулярной оси  $a$  и две другие взаимно перпендикулярные плоскости, проходящие через ось  $a$ . При вращении кристалла в плоскости  $a$  спектры ЭПР практически не менялись. ЭПР спектр, наблюдаемый в плоскости перпендикулярной оси  $a$ , показан на рис. 1,  $g$ -фактор для спектра ЭПР в этой плоскости имел значение  $g = 2,066$ , а константа СТС от иона меди —  $A(\text{Cu}) \sim 9$  Гс. Угловые зависимости спектра в двух других плоскостях представлены на рис. 2.

Из этих зависимостей следует, что в спектрах ЭПР для наблюдаемого центра имеется одно магнитно неэквивалентное положение. Причем главные значения  $g$ -тензора и СТВ направлены по оси  $a$ . Сверхтонкая структура спектра ЭПР обусловлена примесным атомом, имеющим два изотопа с ядерным моментом  $I = 3/2$  (рис. 3).

Рис. 2. Угловые зависимости спектров ЭПР кристалла  $\text{Pb}_2\text{MoO}_5:\text{Cu}^{2+}$  в двух взаимно перпендикулярных плоскостях, проходящих через ось  $a$

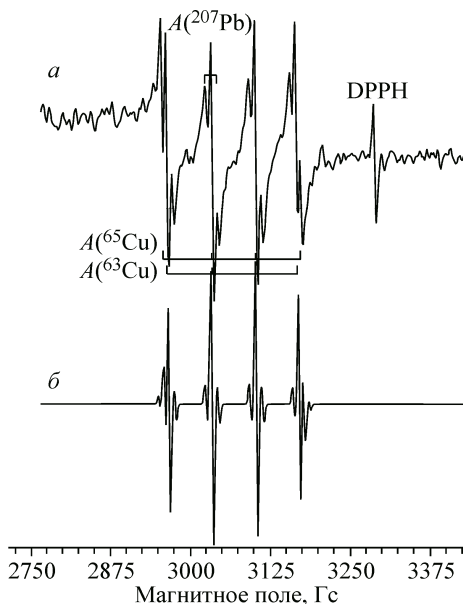


Рис. 3. Спектр ЭПР кристалла  $\text{Pb}_2\text{MoO}_5:\text{Cu}^{2+}$  при направлении магнитного поля  $H$  под углом  $60^\circ$  к оси  $a$  в плоскости  $b$ : экспериментальный спектр (а), моделированный с помощью программы Simfonia (б)

Соотношение изотопов, рассчитанное из спектров ЭПР, составляет примерно 3:7, что соответствует соотношению изотопов  $^{63}\text{Cu}$  и  $^{65}\text{Cu}$ . Линии в спектрах ЭПР этого парамагнитного центра имеют полуширину  $\Delta H_{1/2} = 5,6$  Гц, что позволило не только разрешить СТС от двух изотопов меди, но и проанализировать дополнительную сверхтонкую структуру от атома с ядерным моментом  $I = 1/2$ . Соотношение интенсивностей линии дополнительной СТС к линии спектра меди составляет 1:7, что соответствует наличию атома в структуре дефекта с естественным содержанием  $\sim 22\%$  изотопа с  $I = 1/2$ . Таким атомом в структуре данного соединения является атом свинца. Константа СТС от атома свинца составляет величину  $A(\text{Pb}) = 17,8$  Гц. Теоретически рассчитанные величины сверхтонкого расщепления при 100 % локализации неспаренного электрона на атоме свинца составляют величины:  $A(\text{Pb})_{\text{из.}} = 29084,9$  Гц и  $A(\text{Pb})_{\text{ан}} = 232,08$  Гц. Это означает, что спиновая плотность на атоме свинца составляет 0,061 %. Расчет параметров спектра ЭПР с помощью программы [9] показал, что спектр ЭПР описывается спин-гамильтонианом:

$$H = g_x \beta H_x S_x + g_y \beta H_y S_y + g_z \beta H_z S_z + A(\text{Cu})_x S_x I(\text{Cu})_x + A(\text{Cu})_y S_y I(\text{Cu})_y + A(\text{Cu})_z S_z I(\text{Cu})_z + A(\text{Pb})_x S_x I(\text{Pb})_x + A(\text{Pb})_y S_y I(\text{Pb})_y + A(\text{Pb})_z S_z I(\text{Pb})_z$$

с параметрами:  $g_{xx} = g_{yy} = 2,062$ ,  $g_{zz} = 2,3556$ ,  $A_{||}(\text{Cu}) = 117$  Гц,  $A_{||}(\text{Cu}) = 125$  Гц,  $A(\text{Pb}) = 17,8$  Гц. При этом  $g_{||}$  и  $A_{||}$  направлены по оси  $a$ , что совпадает с направлением линейной конфигурации связей  $\text{Pb}-\text{O}-\text{Mo}$ .

Сравнение экспериментального спектра ЭПР с рассчитанным (см. рис. 3) показывает, что хорошо разрешенный спектр накладывается квартет линий с полушириной  $\Delta H_{1/2} \sim 13$  Гц. Это может быть связано либо с наличием областей кристалла с более высокой локальной концентрацией центров, либо сискажениями структуры в локальных областях кристалла, обусловленными другими дефектами и приводящими к уширению линий ЭПР.

#### ОБСУЖДЕНИЕ РЕЗУЛЬТАТОВ

В соответствии с данными работы [10] на рис. 4 представлен фрагмент структуры кристалла  $\text{Pb}_2\text{MoO}_5$ . Поскольку направление главных значений  $g_{||}$  и  $A_{||}(\text{Cu})$  в структуре кристалла

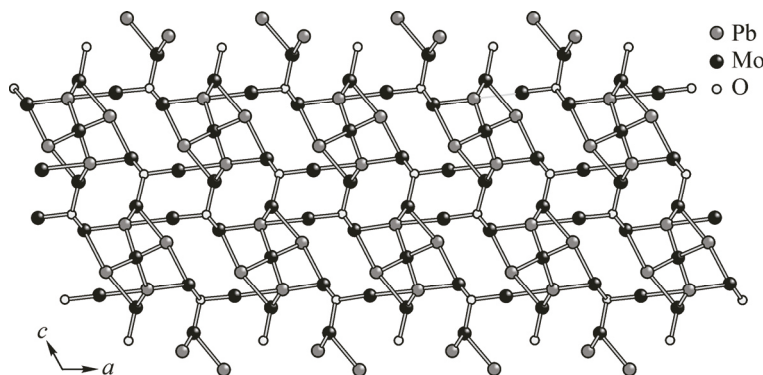
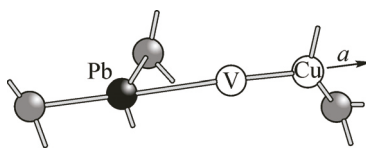


Рис. 4. Фрагмент структуры кристалла  $\text{Pb}_2\text{MoO}_5$

Рис. 5. Предполагаемая структура дефекта, включающего ион меди  $\text{Cu}^{2+}$ .  
 V — кислородная вакансия



соответствует оси  $a$ , рассмотрим возможную структуру дефекта, включающего ион меди. Без глубокого анализа особенностей структуры кристалла  $\text{Pb}_2\text{MoO}_5$  напрашивается замещение иона  $\text{Pb}^{2+}$  на ион  $\text{Cu}^{2+}$ . Ионный радиус  $\text{Pb}^{2+}$  составляет  $1,26 \text{ \AA}$ ,  $\text{Pb}^{4+}$  —  $0,76 \text{ \AA}$ , ионный радиус  $\text{Mo}^{6+}$  —  $0,62 \text{ \AA}$ , а ионный радиус  $\text{Cu}^{2+}$  —  $0,8 \text{ \AA}$ .

При этом в структуре кристалла реализуются длины связей  $\text{Pb}-\text{O}$ :  $2,304$ ,  $2,457$ ,  $2,2082$  и  $2,567 \text{ \AA}$ . Для молибдена в кислородных тетраэдрах реализуются связи  $\text{Mo}-\text{O}$ :  $1,7677$ ,  $1,785$ ,  $1,786$  и  $1,788 \text{ \AA}$ . Если ион меди изоморфно замещает ион свинца, то расстояние до ближайшего положения свинца через две связи  $\text{Pb}-\text{O}$  и через две связи  $\text{Mo}-\text{O}$  по прямой линии составляет  $5,1759 \text{ \AA}$ . В этом случае невозможно объяснить наблюдаемую СТС от одного атома свинца. В случае вхождения иона меди в позицию молибдена необходимо рассмотреть зарядовую компенсацию для обеспечения электронейтральности образующегося дефекта. Дефицит заряда ( $+4$ ) можно скомпенсировать образованием кислородной вакансии на линии  $\text{Pb}-\text{O}-\text{Cu}$  и переходом иона свинца в состояние  $\text{Pb}^{4+}$ . Такая конфигурация дефекта объясняет одно выделенное направление для главных значений  $g$ - и  $A$ -тензоров и наблюдаемое сверхтонкое взаимодействие с одним атомом свинца. В структуре такого дефекта ион меди смещается в направление образовавшейся кислородной вакансии и может реализовать необходимое расстояние до ближайших трех атомов кислорода  $\sim 2 \text{ \AA}$ . Наблюдаемые значения  $g$ -факторов и констант СТС соответствуют случаю окружения иона меди в тригональной призме. На рис. 5 представлена предполагаемая структура дефекта, образующегося при вхождении иона меди в структуру кристалла  $\text{Pb}_2\text{MoO}_5$ .

Возвращаясь к проблеме рассеяния света на предполагаемых включениях в кристаллах  $\text{Pb}_2\text{MoO}_5$ , хотелось бы отметить некоторые его особенности. Дело в том, что рассеяние света в исследуемых кристаллах  $\text{Pb}_2\text{MoO}_5$  наблюдается только при направлении зондирующего луча света в плоскости перпендикулярной оси  $a$ . При направлении зондирующего луча света вдоль оси  $a$  рассеяния света не наблюдается. Эффект рассеяния света возможно наблюдать на включениях, размеры которых превышают на порядок и более длину волны зондирующего света. Из этого следует, что включения или дефекты в направлении, перпендикулярном оси  $a$ , должны иметь размеры, равные или меньшие длины волны зондирующего света.

Эксперименты по просвечивающей и электронной микроскопии не обнаруживают в исследуемых кристаллах объемных включений. Поэтому остается предположить, что образующиеся протяженные цепочки дефекты типа  $\text{Pb}^{4+}-\text{V}(\text{O})-\text{M}^{2+}$ , которые в соответствии со структурой кристалла выстраиваются вдоль оси  $a$ , и являются причиной наблюдаемого рассеяния света. Такими двухвалентными примесными элементами  $\text{M}^{2+}$  могут быть ионы кальция, магния, цинка, кадмия, бария. Подобные цепочки дефекты вдоль оси  $a$  типа  $\text{Pb}^{4+}-\text{O}^{2-}\text{M}^{4+}$  могут образовать примесь углерода и кремния.

## ВЫВОДЫ

Таким образом, проведенные исследования методом ЭПР позволили установить структуру дефекта, образующегося при вхождении примеси меди в структуру кристалла  $\text{Pb}_2\text{MoO}_5$ . Образующийся при вхождении примеси меди дефект имеет в структуре кристалла одно выделенное направление, соответствующее направлению линейной конфигурации связей  $\text{Pb}-\text{O}-\text{Mo}$ . Наблюданное сверхтонкое расщепление на одном атоме свинца дает основание предположить, что ион меди замещает в структуре кристалла ион молибдена, а не ион свинца. Для компенсации заряда и объяснения параметров СТС на меди нужно предположить, что в линейной конфигурации  $\text{Pb}-\text{O}-\text{Mo}$  при замещении иона молибдена на ион меди образуется кислородная вакансия между ионом меди и ионом свинца, а свинец находится в зарядовом состоянии  $\text{Pb}^{4+}$ . Полу-

ченные данные о структуре дефекта, образующегося при вхождении примеси меди в кристалл  $\text{Pb}_2\text{MoO}_5$ , а также отсутствие данных о наличии объемных включений в снимках электронной микроскопии позволяют сделать вывод, что наблюдаемое рассеяние света перпендикулярно оси  $a$  является коллективным эффектом от вхождения двух и четырех валентных ионов, замещающих молибден в линейной конфигурации  $\text{Pb}—\text{O}—\text{Mo}$ .

#### СПИСОК ЛИТЕРАТУРЫ

1. *Акустические кристаллы* / Ред. М.П. Шаскольская. – М.: Наука, 1982.
2. *Binnie W.P.* // Acta Cryst. – 1951. – 4. – P. 471.
3. *Uchida N., Iwasaki H. et al.* // Sixth Intern. Quantum Electronics Conference. – Kyoto, Japan, 1970. – 1. – P. 66.
4. *Uchida N., Miyazawa S., Ninomiya K.* // J. Opt. Soc. Am. – 1970. – 60. – P. 1375.
5. *Mil'kov M.G., Volnyansky M.D., Antonenko A.M., Voloshinov V.B.* // Akusticheskii Zhurnal (Acoust. J.). – 2012. – 58. – P. 206.
6. *Chernyatin A.Yu.* // Proc. of SPIE. – 2005. – 5953. – P. 0U.1.
7. *Ohmachi Y., Uchida N.* // J. Appl. Phys. – 1971. – 42. – P. 521.
8. *Folkerts H.F., Zuidema J., Blasse G.* // Solid State Commun. – 1996. – 99. – P. 655.
9. Чертней Н.В., Надолинный В.А. // Заводская лаборатория. – 2006. – 72, № 2. – С. 20.
10. *Mentzen B.F., Latrach A., Bouix J., Hewat A.W.* // Mat. Res. Bull. – 1984. – 19. – P. 589.